



شناسایی بار زوال یک جسم هایپیرالاستیک با در نظر گرفتن محل ایجاد زوال

فاطمه مظفر^۱، محمدرحیم همتیان^{۲*}^۱ کارشناسی ارشد، دانشکده مهندسی مکانیک، دانشگاه شیراز^۲ استاد، دانشکده مهندسی مکانیک، دانشگاه شیراز

یادداشت پژوهشی، تاریخ دریافت: ۱۴۰۱/۱۲/۱۷؛ تاریخ بازنگری: ۱۴۰۲/۰۴/۱۹؛ تاریخ پذیرش: ۱۴۰۲/۰۷/۲۵

چکیده

در سال‌های اخیر تعریف و تحلیل مسائل معکوس مواد هایپیرالاستیک به علت استفاده فراوان این مواد در صنایع مختلف و همچنین در ساخت بافت‌های مصنوعی بدن، بیش از پیش مورد توجه قرار گرفته است. در تحلیل مکانیکی مواد هایپیرالاستیک، هم رفتار مادی و هم تغییر شکل ماده به صورت غیرخطی در نظر گرفته می‌شود. در این مقاله، یک مسأله معکوس در خصوص زوال اجسام هایپیرالاستیک تعریف و برای حل آن دو روش مختلف پیشنهاد می‌گردد. تحلیل معکوس قطعات هایپیرالاستیک که دچار زوال شده‌اند، برای جلوگیری از بروز مجدد زوال و بهبود طرح آن‌ها می‌تواند بسیار مفید باشد. در مسأله معکوس در نظر گرفته شده فرض می‌شود یک جسم دوبعدی که دچار زوال شده است وجود دارد و محل زوال آن مشخص است. توزیع بار اعمالی (شرایط مرزی) در قسمتی از مرز جسم، مجهول مسأله در نظر گرفته می‌شود و با حل مسأله معکوس تعیین می‌گردد. با تعریف یک تابع هدف مناسب، مسأله معکوس تعریف شده به یک مسأله بهینه‌سازی غیرمقید تبدیل می‌شود. برای حل مسأله بهینه‌سازی تعریف شده یک روش مرتبه صفر براساس روش جستجوی فواصل مساوی و یک روش مرتبه یک براساس روش تندترین کاهش مورد استفاده قرار می‌گیرد. جهت کاربردی‌تر شدن مسأله، داده‌های ورودی مسأله معکوس که محل زوال و کرنش معادل بحرانی است با مقداری خطا مورد استفاده قرار می‌گیرند. در نهایت با در نظر گرفتن محل ایجاد زوال و کرنش معادل زوال، بار ایجاد کننده زوال شناسایی می‌شود. با توجه به مثال‌های ارائه شده ملاحظه می‌شود که عملکرد روش مرتبه اول به مراتب بهتر از روش مرتبه صفر است.

کلمات کلیدی: زوال؛ گرادیان-محور؛ هایپیرالاستیک؛ مسأله معکوس؛ بهینه‌سازی

Identification of the Failure Load of a Hyperelastic Body Considering the Location of the Failure

Fatemeh Mozafar¹, Mohammad Rahim Hematiyan^{2*}¹ M.Sc. Student, Mech. Eng., Shiraz Univ., Shiraz, Iran² Prof., Mech. Eng., Shiraz Univ., Shiraz, Iran

Abstract

In recent years, the definition and analysis of inverse hyperelastic problems due to the wide use of these materials in various industries and also in manufacturing of artificial tissues of the body, has received more attention than before. In mechanical analysis of hyperelastic materials, both material behavior and material deformation are considered nonlinear. In this article, an inverse problem related to the failure of hyperelastic bodies is defined and two different methods are proposed to solve it. The inverse analysis of hyperelastic bodies that have failed, can be useful to prevent the recurrence of failure in these materials. In the inverse problem, it is assumed that a two-dimensional hyperelastic solid is failed and the place of its failure is known. The distribution of the load (boundary conditions) in a part of the boundary is considered unknown and is calculated by solving the inverse problem. By defining an appropriate objective function, the defined inverse problem is converted to an unconstrained optimization problem. To solve the optimization problem, a zero-order method based on the equal interval search method and a first-order method based on the steepest descent method are used. To make the problem more practical, the inverse problem input data, which are the location of failure and the critical equivalent strain, are used with some error. Finally, considering the location of the failure and the critical equivalent strain, the load causing failure is identified. It can be seen that the performance of the first-order method is better than the zero-order method.

Keywords: Failure; Gradient-based; Hyperelastic; Inverse problem; Optimization

۱- مقدمه

امروزه با دقت در اجزاء تشکیل دهنده بسیاری از تجهیزات مورد استفاده روزانه انسان‌ها، مواد هایپر الاستیک را به وفور خواهیم یافت و استفاده از این مواد را علاوه بر صنایع مهندسی مکانیک در علم بیومکانیک^۱ نیز مشاهده می‌نماییم. شناسایی، تحلیل و بهینه‌سازی عملکرد مواد هایپر الاستیک با استفاده از تحلیل معکوس می‌تواند علاوه بر بهبود تجهیزات صنعتی، در زمینه‌های مختلف بیومکانیک مانند ساخت دریچه قلب، ترمیم بافت نرم و ساخت پروتزها نیز کمک کند. به‌طور مثال در صورت بروز زوال در قطعات لاستیکی (مانند تایر خودرو و هواپیما) و همچنین ایجاد زوال در بافت نرم مصنوعی در قسمت‌های مختلف بدن، با کمک تحلیل معکوس می‌توان بار ایجاد کننده زوال را شناسایی کرد و از بروز مجدد این وقایع جلوگیری نمود. یکی از مهم‌ترین خواص مواد هایپر الاستیک این است که در محدوده الاستیک، کرنش‌های بسیار بزرگی را تحت تنش‌های کوچک تجربه می‌نمایند. به علت رفتار غیر خطی مواد هایپر الاستیک، این مواد از قانون هوک تبعیت نمی‌کنند و برای تحلیل آن‌ها باید از تئوری‌های تغییر شکل بزرگ الاستیک استفاده نمود. روابط تنش بر حسب تغییر شکل یک ماده هایپر الاستیک با کمک تابع چگالی انرژی کرنشی بیان می‌گردد که تابع چگالی انرژی کرنشی همان میزان انرژی الاستیک ذخیره شده در واحد حجم جسم است. در مقاله پیش رو که قرار است توزیع بار به‌وجود آورنده زوال در یک جسم هایپر الاستیک شناسایی شود، یک تابع چگالی انرژی کرنشی مناسب بر اساس نظریه پدیده شناسی ریولین^۲ برای بررسی رفتار مواد هایپر الاستیک مورد استفاده قرار می‌گیرد. برای بیان تابع انرژی کرنشی از یک سری ناوردهای تغییر شکل و ثابت‌های مادی استفاده می‌شود. تئوری‌های زوال برای مواد هایپر الاستیک نسبت به مواد الاستیک خطی بسیار پیچیده‌تر

است. در ادامه، تعدادی از مهمترین پژوهش‌های انجام شده در این خصوص مرور می‌شود.

در سال ۱۹۹۷ الوسانیا^۳ [۱] معیاری برای زوال کششی مواد هایپر الاستیک و کاربرد آن در مواد ویسکو الاستیک و ویسکو پلاستیک ارائه داد. او از چگالی انرژی کرنشی و انرژی هیستریزیس^۴ ماده‌ای خاص در هفت دمای متفاوت کمک گرفت و بعد از رسم نمودارهای متعدد، رابطه بین انرژی زوال و دما را بدست آورد. وولوخ^۵ [۲] در سال ۲۰۰۷ زوال مواد هایپر الاستیک را مورد بررسی قرار داد. او این کار را با کمک نرم کردن^۶ (یکی از روش‌های آماده کردن ماده جهت شکل‌پذیری بهتر) مواد هایپر الاستیک انجام داد و روی انرژی کرنشی این مواد تحقیقات کاربردی بسیاری به عمل آورد. وی انرژی کرنشی را با زوال و بدون زوال بررسی کرد و حالات تنش تک محوره و برشی ساده را نیز بررسی کرد. برای بررسی تنش تک محوره از مدل مادی نئوهوکین^۷ استفاده کرد و پدیده کاویتاسیون^۸ در ماده جامد را بررسی نمود و زوال بالون^۹ و زوال شریانی^{۱۰} و انرژی زوال بحرانی^{۱۱} را در ادامه تحقیقاتش بررسی کرد.

در سال ۲۰۰۹ در زمینه توصیف زوال مواد هایپر الاستیک، نیر^{۱۲} و همکارانش [۳] از روش‌های استاندارد و نرم افزار آباکوس^{۱۳} استفاده کردند و با کمک فنون تجربی یعنی کالیبراسیون^{۱۴} مدل هایپر الاستیک، تست پارگی^{۱۵} و استفاده از نمونه‌ای که دچار زوال شده بود، به مقایسه رفتار مواد و انرژی زوال بحرانی برای گروه خاصی از مواد هایپر الاستیک پرداختند. وولوخ [۴] در سال ۲۰۱۰ نیز یک مدل برای زوال مواد شبه لاستیک^{۱۶} ارائه نمود و قابلیت ارتجاعی^{۱۷} را با محدود کننده های انرژی^{۱۸} بررسی کرد و از یک تابع پتانسیل زوال جدید^{۱۹} استفاده کرد؛ همچنین او در سال ۲۰۱۱ تحقیقاتش را در زمینه زوال مواد هایپر الاستیک ادامه داد [۵] و زوال مواد غیر همسانگرد نرم را نیز مدل کرد.

¹² Nair

¹³ ABAQUS

¹⁴ Calibration

¹⁵ Tear test

¹⁶ Rubber like

¹⁷ Elasticity

¹⁸ Energy limiter

¹⁹ New failure potential

¹ Biomechanic

² Rivilin

³ Olusanya

⁴ Hysteresis

⁵ Volokh

⁶ Softening

⁷ Neo-Hookean

⁸ Cavitation

⁹ Baloon

¹⁰ Arterial

¹¹ Critical failure energy

زوال بررسی کردند. آن‌ها رفتار زوال کامپوزیت‌های پلیمری به‌دست آمده از چاپ سه بعدی، تحت تغییر فرم‌های بسیار بزرگ را بدست آوردند و در نهایت نتایج آزمایشگاهی و محاسبات عددی با کمک روش میدان فازی و فرمول‌بندی تنش صفحه‌ای را با هم مقایسه کردند. در همین سال، روزندال [۱۱] زوال مواد هایپرالاستیک غیر قابل تراکم تحت بارهای انبساطی یا اعوجاجی را به همراه توصیف سطح زوال ارائه نمود. او معیار انرژی زوال و کرنش مربوط به هسته ترک که به علت شکاف ایجاد می‌شود را بیان نمود و یک مدل که تنش، کرنش و آنالیزهای زوال را برای اتصالات چسب‌های هایپرالاستیک نشان می‌داد استخراج کرد. در سال ۲۰۲۲ روزندال و همکارانش [۱۲] روی پیش‌بینی زوال مواد هایپرالاستیک تراکم ناپذیر کار کردند و در این خصوص از نمونه‌های محدود حجمی مانند نمونه‌های پنکیک استفاده نمودند. در سال ۲۰۲۳ زوچوسکی^۹ و همکارانش [۱۳] به منظور تحلیل قابلیت‌های جذب و اتلاف انرژی در مواد هایپرالاستیک، مطالعات تجربی و عددی روی مکانیزم‌های شکست مواد هایپرالاستیک تحت برخورد انجام دادند.

به علت گستردگی موضوع زوال مواد هایپرالاستیک هنوز تحقیقات متعددی در این زمینه در حال انجام است. در پژوهش حاضر یک تئوری نسبتاً جدید زوال [۹ و ۱۱] که یکی از تئوری‌های کارآمد است، مورد استفاده قرار می‌گیرد. تاکنون مسائل معکوس مختلفی در خصوص مواد هایپرالاستیک تعریف و تحلیل شده است. برای مثال، در پژوهش انجام شده توسط حاج‌هاشم‌خانی و همتیان [۱۴] با استفاده از یک روش معکوس که از الگوریتم هموارسازی تیخونوف استفاده می‌کند، شرایط مرزی مجهول از نوع تنش، برای یک جسم هایپرالاستیک شناسایی شده است. جابه جایی برای نقاط مختلف در سطح خارجی جسم اندازه‌گیری شده است و با استفاده از این داده‌ها و فرآیندی تکرار شونده، پارامترهای توزیع تنش روی مرز محاسبه شده است. در پژوهش آن‌ها، تحلیل معکوس برای مدل همسانگرد مونی-ریولین و همچنین مدل همسانگرد اگدن انجام شده است. در مقاله آن‌ها [۱۴] یک مثال برای

کائو^۱ و همکارانش [۶] در سال ۲۰۱۷ تغییر فرم مواد هایپرالاستیک برای جامدات نرم را تا بروز زوال بررسی کردند و آن‌ها مدلی جدید برای مواد هایپرالاستیک با تخمین خطا و در واقع یک روش مستقیم برای دستیابی به پتانسیل‌های الاستیک چند محوره جدید در مواد هایپرالاستیک نرم غیر قابل تراکم پیشنهاد دادند.

در سال ۲۰۱۸ اشمنند^۲ و مرزی^۳ [۷] تاثیر سرعت باز شدن ترک و ضخامت لایه چسب بر رفتار زوال اتصالات چسبی هایپرالاستیک تحت بارگذاری خاص را مورد بررسی قرار دادند. استفاده گسترده از اتصالات چسبی که جنسی شبیه به لاستیک دارند، نیاز به داشتن دانش درباره رفتار زوال و در نهایت پیش‌بینی خرابی این اتصالات دارد. تمرکز کار اشمنند و همکارانش بر روی وابستگی حالت زوال بر سرعت باز شدن ترک و ضخامت لایه‌های چسب اتصالات چسبی در مواد هایپرالاستیک بود. آن‌ها دو نمونه تیر یک‌سر درگیر، با لایه چسب با دو ضخامت متفاوت ساختند و در سرعت‌های مختلف مورد آزمایش قرار دادند.

روزندال^۴ و همکارانش [۸] در سال ۲۰۱۸ در مورد ترک در اتصالات چسبی هایپرالاستیک پژوهش‌هایی انجام دادند. در واقع آن‌ها زوال بنیادی چسب‌های اتصال دهنده شیشه به فلز که همان درزگیرهای سیلیکونی هستند را مورد بررسی قرار دادند. آن‌ها حالت‌های مختلف زوال که بستگی به هندسه چسب داشت را بررسی نمودند؛ همچنین، ملاحظه کردند که در محدوده‌هایی که تنش‌های سه محوره وجود دارد، زوال‌های انبساطی به علت رشد ناگهانی حفره‌ها رخ خواهد داد. آن‌ها همچنین در سال ۲۰۱۹ معیار زوال بر پایه کرنش را برای الاستومرهای هایپرالاستیک غیر قابل تراکم، تحت بارگذاری چند محوره بدست آوردند [۹] و زوال بر پایه کرنش مدل‌های مختلف مانند فون میسز^۵، ترسکا^۶ و ... را مقایسه کردند و روابط و نمودارهای آن‌ها را با هم قیاس کردند.

در سال ۲۰۲۰ راس^۷ و همکارانش [۱۰] پارگی کامپوزیت‌های هایپرالاستیک به‌دست آمده از چاپ سه بعدی را با کمک آزمایش‌های مختلف و تحلیل میدان فازی^۸ مدل‌های

^{۱۱} Russ^{۱۲} Phase field^{۱۳} Zochowski^۵ Cao^۶ Schmandt^۷ Marzi^۸ Rosendahl^۹ von Mises^{۱۰} Tresca

مقادیری که برای محل زوال و ظرفیت زوال ماده هایپرااستیک در نظر گرفته می شود با مقادیری خطا بکار برده می شود تا توانایی روش ارائه شده در شرایط عملی سنجیده شود.

۲- روابط متشکله و معیار زوال مواد هایپر-الاستیک

در حالت کلی، روابط مرتبط کننده تنش و تغییر شکل با استفاده از تابع انرژی کرنشی بیان می شود. در مواد الاستیک غیرخطی برای تابع انرژی پتانسیل کرنشی مدل های متفاوتی وجود دارد. معادلات ساختاری دارای ثوابتی هستند که از طریق آزمایش و به صورت تجربی بدست می آیند. در روابطی که در ادامه بیان می شود، W تابع انرژی کرنشی، \mathbf{F} تانسور گرادیان تغییر شکل^۴ و \mathbf{u} بردار جابجایی است. تانسور گرادیان تغییر شکل بر حسب بردار جابجایی به صورت زیر بیان می شود.

$$\mathbf{F} = \mathbf{I} + \nabla \mathbf{u} \quad (1)$$

\mathbf{C} برای بیان تانسور تغییر شکل راست کوشی-گرین^۵ بکار گرفته می شود که رابطه آن با تانسور گرادیان تغییر شکل به صورت زیر است:

$$\mathbf{C} = \mathbf{F}^T \mathbf{F} \quad (2)$$

دترمینان تانسور گرادیان تغییر شکل با J نمایش داده می شود:

$$J = \det(\mathbf{F}) \quad (3)$$

تابع انرژی کرنشی یک ماده همسانگرد را می توان به کمک ناوردهای تانسور \mathbf{C} مطابق رابطه زیر بیان کرد:

$$W = W(I_1(C_{ij}), I_2(C_{ij}), I_3(C_{ij})) \quad (4)$$

شناسایی شرایط مرزی روی لبه یک جسم دوبعدی با هندسه نسبتاً پیچیده ارائه شده است تا کارائی روش ارائه شده مورد ارزیابی قرار گیرد.

در پژوهش دیگری که توسط حاج هاشم خانی و همکارانش [۱۵] انجام شده است، یک فرمول بندی معکوس جدید برای شناسایی پیکربندی اولیه (بدون بار) یک جسم هایپرااستیک تغییر شکل یافته با استفاده از روش المان محدود ارائه شده است. در پژوهش انجام شده توسط زو^۱ و همکاران [۱۶] یک روش معکوس برای تعیین ثابت های الاستیک و شرایط مرزی مواد هایپرااستیک سه بعدی ارائه گردیده است.

با توجه به بررسی های انجام شده ملاحظه می شود که تاکنون در خصوص مواد هایپرااستیک تحقیقات گسترده ای انجام شده است و مسائل مختلف معکوس در مورد شناسایی پارامترهای مادی و شرایط مرزی مواد هایپرااستیک ارائه شده است، اما تحقیقی در خصوص نوآوری پژوهش حاضر که شناسایی بار زوال یک جسم هایپرااستیک با داشتن محل ایجاد زوال آن است انجام نگردیده است.

هدف از انجام این پژوهش، کسب این توانایی است که در صورت بروز زوال برای مواد هایپرااستیک قادر باشیم تا با بررسی محل زوال و دانستن شرایط تکیه گاهی، با انجام تحلیل معکوس توزیع بار وارده بر ماده هایپرااستیک را به دست آوریم. در این صورت، هنگام بکارگیری مجدد ماده هایپرااستیک با همان مشخصات، می دانیم که تا چه حد و اندازه ای مجاز هستیم ماده را تحت تنش و نیرو قرار دهیم. تحلیل المان محدود تغییر شکل ماده هایپرااستیک در نرم افزار شناخته شده انسیس^۲ انجام می شود. تحلیل زوال و انجام مراحل بهینه سازی در تحلیل معکوس در نرم افزار متلب^۳ انجام می شود. در مسأله معکوس مورد بحث، محل زوال، جنس ماده هایپرااستیک، هندسه و شرایط تکیه گاهی معلوم در نظر گرفته می شود، اما بار وارد شونده مجهول در نظر گرفته می شود. مسأله به صورت دوبعدی در نظر گرفته می شود و بار وارد شونده مجهول با یک توزیع ساده مثلاً خطی مدل می شود و پارامترهای بار با حل مسأله معکوس محاسبه می شوند. در واقعیت، تعیین محل زوال و خصوصیات مادی جسم هایپرااستیک با مقداری خطا همراه است. برای نزدیک شدن شرایط مسأله به وضعیت واقعی،

³ Deformation gradient tensor

⁴ Right Cauchy-Green deformation tensor

¹ Xu

² ANSYS

³ MATLAB

I_1, I_2 و I_3 ناوردهای تانسور \mathbf{C} هستند که به صورت زیر بیان می‌شوند:

$$J = \det(\mathbf{F}) = \lambda_1 \lambda_2 \lambda_3 \quad (۱۱)$$

برای یک ماده تراکم ناپذیر، تابع چگالی انرژی کرنشی بر اساس مدل نتوهوکین در سه بعد به صورت زیر بیان می‌شود:

$$W = C_1(I_1 - 3) \quad (۱۲)$$

درخصوص بیان تغییر شکل مواد هایپرالاستیک و بررسی زوال آن‌ها تانسورهای مختلف و متنوعی در مراجع متعدد تعریف گردیده‌است. در ادامه، رابطه نوعی از کرنش بررسی می‌شود که در این پژوهش مورد استفاده قرار خواهد گرفت. پژوهش حاضر بر مبنای معیار زوال بر اساس اتساع^۳ و کرنش هنکی^۴ خواهد بود.

اتساع به صورت زیر تعریف می‌شود:

$$\lambda_i = \frac{dl_i}{dL_i} \quad (۱۳)$$

که در آن dl_i طول المان تغییر فرم یافته و dL_i طول المان قبل از تغییر فرم است
تانسور چپ اتساع^۵ برای یک مسأله سه بعدی به صورت زیر تعریف می‌شود [۱۸]:

$$\mathbf{V} = \begin{bmatrix} \lambda_1 & 0 & 0 \\ 0 & \lambda_2 & 0 \\ 0 & 0 & \lambda_3 \end{bmatrix} \quad (۱۴)$$

تانسور کرنش هنکی را به صورت زیر تعریف می‌کنیم:

$$\mathbf{H} = \log \mathbf{V} \quad (۱۵)$$

لگاریتم تانسور \mathbf{V} که یک تانسور مثبت قطعی است به صورت زیر بیان می‌شود:

$$\log \mathbf{V} = \sum_{i=1}^3 (\ln \hat{\lambda}_i) \mathbf{n}_i \otimes \mathbf{n}_i \quad (۱۶)$$

$$I_1 = \text{tr}(\mathbf{C}) \quad (۵)$$

$$I_2 = \frac{1}{2} \left[(\text{tr}(\mathbf{C}))^2 - \text{tr}(\mathbf{C}^2) \right] \quad (۶)$$

$$I_3 = \det(\mathbf{C}) \quad (۷)$$

در یک رهیافت کلی، می‌توان از سری توانی نامتناهی برای بیان تابع انرژی کرنشی استفاده کرد [۱۷]:

$$W = W(I_1, I_2, I_3) = \sum_{p,q,r=0}^{\infty} C_{pqr} (I_1 - 3)^p (I_2 - 3)^q (I_3 - 3)^r \quad (۸)$$

لازم به ذکر است که C_{pqr} در عبارت فوق، نشان دهنده ثابت‌های ماده است. در مدل‌سازی‌های کاربردی مختلف، تابع انرژی کرنشی برحسب تعداد محدودی ثابت مادی بیان می‌شود. برای محاسبه تابع چگالی انرژی، مدل‌های متفاوتی با ثوابت متنوع وجود دارد که از مشهورترین آن‌ها می‌توان به مدل‌های مونی-ریولین^۱، نتوهوکین^۲، و اوگدن^۳ اشاره کرد. در این پژوهش، از مدل نتوهوکین استفاده خواهد شد که در ادامه توضیحات مختصری در مورد آن ارائه می‌گردد.

تابع چگالی انرژی کرنشی نتوهوکین در حالت کلی به صورت زیر بیان می‌شود:

$$W = C_1(I_1 - 3) + D_1(J - 1)^2 \quad (۹)$$

که در آن I_1 ناوردهای اول (جمع مقادیر روی قطر) تانسور تغییر شکل راست کوشی-گرین است. C_1 و D_1 ثابت‌های ماده هایپرالاستیک هستند و I_1 به صورت زیر بیان می‌شود:

$$I_1 = \lambda_1^2 + \lambda_2^2 + \lambda_3^2 \quad (۱۰)$$

همچنین:

⁵ Left stretch tensor

¹ Mooney-Rivlin

² Ogden

³ Stretch

⁴ Hencky strain

$$\xi_1 = \frac{1}{\sqrt{3}}(\varepsilon_1 + \varepsilon_2 + \varepsilon_3) = \frac{1}{\sqrt{3}} I_1 \quad (21)$$

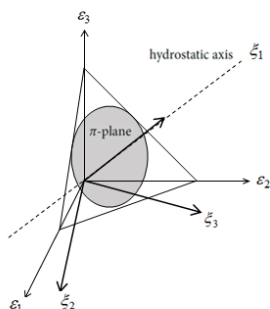
$$\xi_2 = \frac{1}{\sqrt{2}}(\varepsilon_1 - \varepsilon_3) \quad (22)$$

$$\xi_3 = \frac{1}{\sqrt{6}}(-\varepsilon_1 + 2\varepsilon_2 - \varepsilon_3) \quad (23)$$

محور ξ_1 محور هیدرواستاتیک نامیده می شود که بر روی این محور رابطه زیر برقرار است:

$$\varepsilon_1 = \varepsilon_2 = \varepsilon_3 \quad (24)$$

حالات تغییر فرم روی این محور (محور هیدرواستاتیک) مطابق با اتساع حجمی خالص^۸ است؛ همچنین $\xi_1 = const$ صفحه انحراف^۹ (دیویاتوریک) را مشخص می کند که با نام های صفحه هشت ضلعی^{۱۰} یا صفحه پی^{۱۱} نیز شناخته می شود و در شکل ۱ نیز قابل مشاهده است.



شکل ۱- نشانگر صفحه پی و معرف تبدیل مختصات رابطه‌ی (۲۰)

با توجه به همسانگرد بودن ماده، تئوری زوال باید بر اساس یک سری ناوردای مستقل از چرخش دستگاه مختصات بیان گردد. ناوردها به صورت زیر در نظر گرفته می شوند [۹]:

$\hat{\lambda}_i$ در این جا همان مقادیر ویژه مثبت تانسور \mathbf{V} و \mathbf{n}_i همان بردارهای ویژه متعامد تانسور \mathbf{V} هستند. نماد \otimes بیان کننده ضرب دایادیک^۱ دو بردار است. مقادیر ویژه \mathbf{H} کرنش های واقعی^۲ (ε_i) می باشند که به صورت زیر بیان می شوند:

$$\varepsilon_i = \int_{L_i}^{l_i} \frac{d\tilde{l}}{\tilde{l}} = \ln \left(\frac{l_i}{L_i} \right) = \ln \lambda_i \quad (17)$$

با این تعاریف \mathbf{H} که معرف کرنش هنکی است، به صورت زیر بیان می گردد:

$$\mathbf{H} = \begin{pmatrix} \varepsilon_1 & 0 & 0 \\ 0 & \varepsilon_2 & 0 \\ 0 & 0 & \varepsilon_3 \end{pmatrix} \quad (18)$$

برای تفکیک موده های تغییر شکل اتساع حجمی^۳ و اعوجاجی^۴ از یکدیگر، تانسور کرنش هنکی به صورت زیر به دو بخش هیدرواستاتیک^۵ و انحرافی^۶ تقسیم می شود [۱۹]:

$$\begin{aligned} \mathbf{H} &= \log \mathbf{V} = \log \left[\frac{1}{(\det \mathbf{V})^{1/3}} \mathbf{V} (\det \mathbf{V})^{1/3} \mathbf{I} \right] \\ &= \log \left[\frac{1}{(\det \mathbf{V})^{1/3}} \mathbf{V} \right] + \log \left[(\det \mathbf{V})^{1/3} \mathbf{I} \right] \\ &= \mathbf{H}_{dev} + \frac{tr \mathbf{H}}{3} \mathbf{I} \end{aligned} \quad (19)$$

در رابطه فوق، $\mathbf{V}/(\det \mathbf{V})^{1/3}$ نشان دهنده اعوجاج در حجم ثابت^۷ و $(\det \mathbf{V})^{1/3} \mathbf{I}$ نشان دهنده اتساع حجمی است. مطابق شکل ۱ یک تبدیل مختصات به صورت زیر در نظر گرفته می شود [۲۰]:

$$\begin{pmatrix} \varepsilon_1 \\ \varepsilon_2 \\ \varepsilon_3 \end{pmatrix} = \frac{1}{\sqrt{6}} \begin{pmatrix} \sqrt{2} & \sqrt{3} & -1 \\ \sqrt{2} & 0 & 2 \\ \sqrt{2} & -\sqrt{3} & -1 \end{pmatrix} \begin{pmatrix} \xi_1 \\ \xi_2 \\ \xi_3 \end{pmatrix} \quad (20)$$

که در آن:

⁵ Distortional isochoric

⁶ Pure dilatation

⁷ Deviatoric plane

⁸ Octahedral plane

⁹ π - plane

⁶ Dyadic

⁷ Principal true strains

⁸ Dilatational

⁹ Distortional

¹⁰ Hydrostatic

¹¹ Deviatoric

تئوری زوال^۲، در واقع همان دانش پیش‌بینی شرایط گسیختگی مواد حین اعمال نمودن بارهای خارجی است. تئوری پادگورسکی-بیگونی-پیکولروز^۳ که مخفف آن PBP است [۲۳، ۲۲، ۹]، هم از نظر شکل معادله و هم از نظر دقت، به علت وجود دو ثابت، از سایر تئوری‌های زوال کامل‌تر است و به همین دلیل در این پژوهش به کار گرفته می‌شود. داده‌های تجربی و داده‌های این معیار زوال با توجه به مطالعات انجام شده در مرجع ۲۱ دارای تطابق بسیار خوبی با یکدیگر می‌باشند.

کرنش معادل با توجه به تئوری PBP به صورت زیر محاسبه می‌گردد:

(۳۰)

$$\varepsilon_{eq} = \rho \cos \left(\beta \frac{\pi}{6} - \frac{1}{3} \arccos(\alpha \cos(3\theta)) \right)$$

مقدار α در بازه [0,1] و مقدار β در بازه [0,2] انتخاب می‌شوند که برای مثال اگر $\alpha = 1$, $\beta = 0$ انتخاب شود، به تئوری ماریوت^۴ و اگر $\beta = 1$ انتخاب شود، به تئوری ترسکا^۵ و اگر $\beta = 2$ انتخاب شود، به تئوری ایولو^۶ نزدیک می‌شویم؛ همچنین برای $\alpha = 0$ و هر مقدار β ، این معیار به معیار فون میسز نزدیک می‌شود.

بر اساس این معیار، برای اینکه در یک نقطه از جسم هایپرالاستیک زوال رخ دهد، باید کرنش معادل^۸ که در آن نقطه به‌جود می‌آید برابر با کرنش بحرانی^۹ شود. یعنی:

$$\varepsilon_{eq}(\mathbf{H}) = \varepsilon_c \quad (۳۱)$$

مقدار کرنش بحرانی برای هر ماده هایپرالاستیک با جنس دلخواه مشخص است و برای اینکه زوال رخ دهد، باید مقدار کرنش معادل با مقدار کرنش بحرانی برابر شود.

۳- صورت مسأله معکوس و روش حل آن

در این پژوهش فرض می‌شود که یک جسم هایپرالاستیک همگن^{۱۰} و همسانگرد^{۱۱} وجود دارد که تحت یک بار استاتیکی دچار زوال شده است و محل دقیق زوال هم مشخص است.

$$I_1 = \text{tr}(\mathbf{H}) = \varepsilon_1 + \varepsilon_2 + \varepsilon_3 \quad (۲۵)$$

$$I_2' = \frac{1}{2} (\text{tr} \mathbf{H}_{dev}^2 - (\text{tr} \mathbf{H}_{dev})^2) \quad (۲۶)$$

$$= \frac{1}{6} ((\varepsilon_1 - \varepsilon_2)^2 + (\varepsilon_2 - \varepsilon_3)^2 + (\varepsilon_3 - \varepsilon_1)^2)$$

$$I_3' = \det \mathbf{H}_{dev} \quad (۲۷)$$

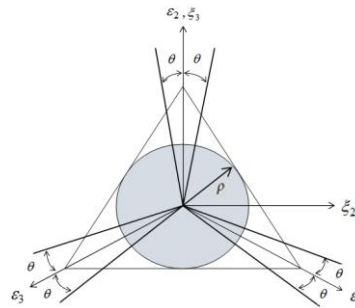
$$= (\varepsilon_1 - \frac{1}{3} I_1)(\varepsilon_2 - \frac{1}{3} I_1)(\varepsilon_3 - \frac{1}{3} I_1)$$

فاصله از محور هیدرواستاتیک توسط ρ نشان داده می‌شود. پارامترهای ρ و θ که در شکل ۲ نمایش داده شده‌اند، به‌صورت زیر محاسبه می‌شوند [۲۱]:

$$\rho = \sqrt{2I_2'} \quad (۲۸)$$

$$\theta = \frac{1}{3} \arccos \left(\frac{3\sqrt{3}}{2} \frac{I_3'}{(I_2')^{3/2}} \right) \quad (۲۹)$$

θ در صفحه پی نظیر شش نقطه مختلف است و نام آن زاویه بار^۱ می‌باشد. لازم به ذکر است که θ در محدوده $\left[0, \frac{\pi}{3}\right]$ قرار دارد (شکل ۲). ρ ، θ و ξ_1 سطح زوال فی^۲ را در مختصات استوانه‌ای بیان می‌کنند.



شکل ۲- موقعیت ρ و θ

⁶ Equivalent strain

⁷ Critical strain

⁸ Homogenous

⁹ Isotropic

¹⁰ Lode angle

¹⁰ Lode angle

¹¹ ϕ surface

¹ Failure theory

² Podgorski-Bigoni-Piccolroaz

³ Mariotte

⁴ Tresca

⁵ Ivlev

در این پژوهش، دو پارامتر مجهول برای مدل سازی بارگذاری در نظر گرفته می شود. پارامترهای مجهول بیان کننده بار را به صورت درایه های ماتریس ستونی \mathbf{q} در نظر می گیریم:

$$\mathbf{q} = \begin{Bmatrix} q_1 \\ q_2 \end{Bmatrix} \quad (32)$$

هریک از پارامترهای q_1 و q_2 می توانند بیان کننده یک پارامتر نیرویی، تنشی، یا جابجایی باشند. مختصات محل زوال را (x_f, y_f) در نظر می گیریم که معلوم است. در روند حل مسأله معکوس که به صورت تکرار شونده و براساس یک روش بهینه سازی غیر خطی انجام می شود، مختصات نقطه بحرانی را با (x_c, y_c) نشان می دهیم. در روند تکرار شونده باید فاصله نقطه زوال و نقطه بحرانی حداقل شود؛ بنابراین تابع هدف را می توان به صورت زیر در نظر گرفت:

$$f(\mathbf{q}) = (x_c(\mathbf{q}) - x_f)^2 + (y_c(\mathbf{q}) - y_f)^2 \quad (33)$$

همچنین شرط زوال را می توانیم به عنوان یک قید غیرخطی به صورت زیر تعریف کنیم:

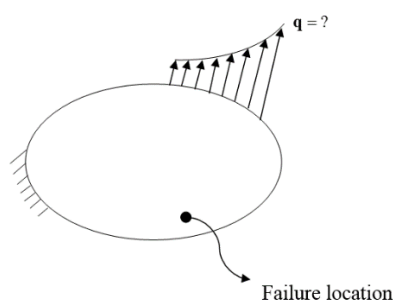
$$\varepsilon_c(\mathbf{q}) - \varepsilon_{failure} = 0 \quad (34)$$

در یک رهیافت مناسب تر برای حالات واقعی که خطای اندازه گیری و خطای مدل سازی وجود دارد، تابع هدف و قید را به صورت زیر در یک تابع هدف ترکیب می کنیم:

$$g(\mathbf{q}) = \frac{(x_c(\mathbf{q}) - x_f)^2 + (y_c(\mathbf{q}) - y_f)^2}{x_f^2 + y_f^2} + \lambda \frac{(\varepsilon_c(\mathbf{q}) - \varepsilon_f)^2}{\varepsilon_f^2} = g_1 + \lambda g_2 \quad (35)$$

ε_c همان مقدار ε_{eq} در نقطه بحرانی است که در هر مرحله توسط نرم افزار محاسبه می گردد و ε_f مقداری از کرنش معادل است که باعث زوال می شود و از آغاز مقدار آن معلوم است. در تابع هدف بیان شده در معادله (۳۵)، تابع g_1 برای به حداقل رساندن فاصله بین نقطه بحرانی (نقطه زوال

شرایط تکیه گاهی، جنس ماده و محدوده مکانی اعمال بار نیز معلوم می باشند، اما توزیع بار وارد شونده به جسم که باعث زوال شده است به صورت کامل یا به صورت جزئی مجهول است. بار برحسب چند پارامتر مدل می شود که این پارامترها مجهولات مسأله هستند. هندسه کلی مسأله در شکل ۳ آورده شده است.



شکل ۳- هندسه کلی مسأله شناسایی بار زوال جسم هایپر الاستیک

حل این مسأله نیازمند تحلیل های مختلفی در نرم افزارهای تحلیل المان محدود مثل انسیس و برنامه نویسی در محیط متلب است.

بار مجهول به صورت یک بار گسترده (جابجایی یا تنش) برحسب یک تا سه پارامتر مدل می شود. تعداد معادلاتی که برحسب مجهولات در تحلیل معکوس به دست می آید نباید از تعداد مجهولات کمتر باشد. در مسأله معکوس مورد نظر سه معادله مختلف مرتبط با مجهولات می توان استخراج نمود. دو معادله با توجه به دو مختصه محل زوال که معلوم است حاصل می گردند و یک معادله دیگر هم با توجه به معیار زوال به دست می آید. در صورتیکه در تعریف مسأله، سه پارامتر مجهول (برابر با تعداد معادلات) در نظر گرفته شود برای حالاتی که خطای اندازه گیری وجود دارد مسأله معکوس بد شرط^۱ می شود؛ یعنی یک تغییر کوچک در داده های ورودی مسأله معکوس، باعث تغییر بسیار زیاد در جواب مسأله می شود و جواب مناسبی به دست نخواهد آمد.

^۱ Ill-conditioned

(۱) در زیر مرحله اول، q_1 را ثابت در نظر می‌گیریم و تنها متغیر طراحی را q_2 در نظر می‌گیریم و یک مرحله بهینه‌سازی انجام می‌دهیم تا مقدار جدید q_2 بدست آید.

(۲) در زیر مرحله دوم، مقدار جدید بدست آمده برای q_2 را ثابت در نظر می‌گیریم و تنها متغیر طراحی را q_1 در نظر می‌گیریم و یک مرحله بهینه‌سازی را انجام می‌دهیم تا مقدار جدید q_1 بدست آید.

به عبارت دیگر، به صورت متوالی در هر مرحله از بهینه‌سازی، یکی از متغیرها را ثابت در نظر می‌گیریم و روند حل مسأله بهینه‌سازی را برای متغیر دیگر انجام می‌دهیم و در مرحله بعد، از مقادیر جدید حاصل شده استفاده می‌نماییم. این روند تا جایی ادامه خواهد داشت که تابع هدف بسیار کوچک گردد و معیار همگرایی نیز ارضا شود.

روش‌های جست‌وجو^۱ که تحت عنوان روش‌های مرتبه صفر شناخته می‌شوند، مبتنی بر محاسبه همزمان یا متوالی تابع هدف در ناحیه امکان^۲ هستند، تا نقطه بهینه^۳ مسأله را مشخص کنند. خروجی این روش‌ها اطلاعاتی در مورد ناحیه‌ای است که نقطه‌ی بهینه در آن قرار دارد. البته باید توجه داشت که دستیابی به جواب کم‌خطا توسط این روش‌ها با صرف هزینه محاسباتی نسبتاً زیاد امکان‌پذیر است.

روش‌های جست‌وجوی متعددی برای پیدا کردن نقطه بهینه توابع تک متغیره وجود دارد، که یکی از ساده‌ترین آن‌ها، روش جست‌وجو با فواصل مساوی^۴ است [۲۴]. در این روش، تابع هدف به صورت $U = f(x)$ فرض می‌شود که x تنها متغیر مسأله است و فرض می‌شود که تابع هدف پیوسته است و در حوزه بررسی دارای یک مینیمم است. محل نقطه مینیمم در نقطه x^* در نظر گرفته می‌شود و مقدار مینیمم تابع هدف با U_{\min} نشان داده می‌شود.

برای حل مسأله توسط این روش، از یک نقطه اولیه^۵ مانند x_i شروع می‌کنیم و مقدار تابع را در این نقطه محاسبه می‌نماییم. آن‌گاه یک گام دلخواه Δx انتخاب کرده و مقدار تابع را نیز در نقطه $x_i + \Delta x$ محاسبه می‌کنیم. در این مرحله مقادیر تابع را در این دو نقطه با یکدیگر مقایسه می‌کنیم. اگر

محاسباتی) و نقطه زوال داده شده و تابع g_2 برای به حداقل رساندن فاصله بین کرنش بحرانی محاسباتی و کرنش زوال در نظر گرفته شده است. در هر دو تابع مخرج مناسبی در نظر گرفته شده است که جملات بدون بعد بوجود آورند. ضریب λ در معادله (۳۵) وزن تابع g_2 را در مقایسه با g_1 بیان می‌کند. هرچه از نظر مکانی به نقطه مورد نظر نزدیک‌تر شویم تابع g_1 کوچکتر می‌شود و هرچه مقدار ε_c به مقدار ε_f نزدیک‌تر گردد، تابع g_2 کوچکتر می‌شود.

برای انجام بهینه‌سازی در روند حل مسأله معکوس از یک برنامه که در نرم‌افزار متلب نوشته شده است، استفاده می‌شود. در هر مرحله از مراحل مختلف فرایند بهینه‌سازی باید $x_c(\mathbf{q})$ ، $y_c(\mathbf{q})$ ، و $\varepsilon_c(\mathbf{q})$ محاسبه شوند. با توجه به توضیحات فوق، مسأله مورد بحث دارای دو متغیر طراحی است. در هر مرحله تکرار، با مشخص شدن مقادیر $x_c(\mathbf{q})$ و $y_c(\mathbf{q})$ ، محاسبه مقدار $\varepsilon_c(\mathbf{q})$ نیز امکان‌پذیر خواهد بود و از آن برای محاسبه تابع هدف استفاده خواهیم نمود. در ادامه، دو روش مختلف، یعنی یک روش مرتبه صفر و یک روش گرادیان محور را مورد بررسی قرار می‌دهیم که برای حل مسأله بهینه‌سازی استفاده می‌شوند.

۳-۱- حل مسأله معکوس با استفاده از یک روش مرتبه صفر

در مراحل اولیه پژوهش، سعی گردید از یک روش مرتبه صفر بهینه‌سازی برای توابع دو متغیره استفاده شود، اما ملاحظه شد که روند همگرایی بسیار کند بوده و گاهی حتی همگرایی به جواب بوجود نمی‌آید. بنابراین تصمیم بر آن شد که مسأله دو بعدی بهینه‌سازی به دو مسأله بهینه‌سازی یک بعدی تبدیل شود. برای اینکه روند حل مسأله تحت کنترل باشد و همگرایی نسبتاً خوبی برای بهینه‌سازی بوجود آید، چند مقدار مختلف برای λ انتخاب کرده و به ازای هر کدام از آن‌ها مسأله بهینه‌سازی را به مسائل بهینه‌سازی یک متغیره تبدیل کرده و آن را حل می‌کنیم. پس از آن، از بین جواب‌های بدست آمده جواب مناسب را انتخاب می‌کنیم. در هر مرحله از حل مسأله، دو زیر مرحله در نظر گرفته و به صورت زیر عمل می‌کنیم:

⁴ Equal interval search method

⁵ Initial point

¹ Search methods

² Feasible region

³ Optimum point

بدست می‌آوریم. در این مرحله با استفاده از فرمول تفاضل محدود زیر، $\partial U / \partial x_1$ را محاسبه می‌کنیم:

$$\frac{\partial U}{\partial x_1} = \frac{U(x_1 + \delta x, x_2) - U(x_1, x_2)}{\delta x} \quad (36)$$

در مرحله بعد، x_1 را ثابت در نظر می‌گیریم و x_2 را به اندازه δx تغییر می‌دهیم و همانند قبل، مقدار $\partial U / \partial x_2$ را نیز محاسبه می‌کنیم. در ادامه با کمک فرمول‌های زیر مقدار گام های Δx_1 و Δx_2 را برای تغییرات x_1 و x_2 به صورت جداگانه، محاسبه می‌نماییم.

$$\Delta x_1 = \frac{-\left(\frac{\partial U}{\partial x_1}\right)\Delta}{\sqrt{\left(\frac{\partial U}{\partial x_1}\right)^2 + \left(\frac{\partial U}{\partial x_2}\right)^2}} \quad (37)$$

$$\Delta x_2 = \frac{-\left(\frac{\partial U}{\partial x_2}\right)\Delta}{\sqrt{\left(\frac{\partial U}{\partial x_1}\right)^2 + \left(\frac{\partial U}{\partial x_2}\right)^2}} \quad (38)$$

بعد از محاسبات انجام شده توسط فرمول‌های فوق، با استفاده از فرمول‌های کلی زیر مقادیر $x_{1\text{new}}$ و $x_{2\text{new}}$ را محاسبه می‌نماییم و مجدداً مقدار $U(x_{1\text{new}}, x_{2\text{new}})$ را نیز بدست می‌آوریم.

$$x_{1\text{new}} = x_1 + \Delta x_1 \quad (39)$$

$$x_{2\text{new}} = x_2 + \Delta x_2 \quad (40)$$

اگر مقدار $U(x_{1\text{new}}, x_{2\text{new}})$ نسبت به $U(x_1, x_2)$ کاهش پیدا کرده بود، مقادیر $x_{1\text{new}}$ و $x_{2\text{new}}$ را به عنوان حدس‌های اولیه جدید (مقادیر بهتر) در نظر می‌گیریم و مجدداً روش فوق را به کار می‌گیریم. اگر مقدار $U(x_{1\text{new}}, x_{2\text{new}})$ نسبت به $U(x_1, x_2)$ افزایش پیدا کرده بود، مقدار گام کلی مسأله یعنی Δ را قرینه و نصف کرده و مجدداً از همین روش استفاده می‌نماییم تا تابع هدف کاهش پیدا کند. این روند را تا جایی ادامه می‌دهیم که مقدار Δ به میزان مطلوب کوچک گردد. در این وضعیت بهینه‌سازی روی پرتو اول^۳ به پایان رسیده و برای آغاز پرتو دوم باید مقادیر نهایی x_1 و x_2 حاصل

مقدار تابع در نقطه $x_i + \Delta x$ کاهش یافته بود، در می‌یابیم که مسیر انتخابی ما درست است و مجدداً نقطه $x_i + \Delta x$ را همانند نقطه x_i در نظر گرفته و با مقدار گام Δx جمع کرده و مقدار تابع را در این نقطه جدید محاسبه و همانند قبل روند کاهش مقدار تابع را بررسی می‌کنیم. در صورت کاهش مقدار تابع نسبت به قبل، این روند را ادامه می‌دهیم. اگر مقدار تابع به جای کاهش، افزایش پیدا کرد، نشان از این می‌دهد که جهت انتخابی اشتباه است. در اینجا باید مقدار گام را نصف کنیم و گام را در یک منفی ضرب کنیم تا جهت مورد بررسی برعکس گردد و ادامه مسیر را همانند قبل با مقدار گام جدید پیش می‌گیریم. معمولاً برای پیدا کردن مینیمم یک تابع چندین بار مقدار گام نصف می‌شود. این روند تا جایی که مقدار گام از معیار همگرایی^۱ که با عدد کوچکی مانند η بیان می‌شود، کوچکتر شود ادامه می‌یابد. در ابتدای بکارگیری این روش، دو مقدار اولیه برای متغیرها در نظر می‌گیریم. سپس متغیر اول را ثابت در نظر گرفته و روند بهینه‌سازی فوق را انجام می‌دهیم. بعد از حاصل شدن مقدار جدید برای متغیر دوم، این مقدار را در مرحله دوم ثابت در نظر گرفته و روند حل مسأله بهینه‌سازی را برای متغیر اول انجام می‌دهیم.

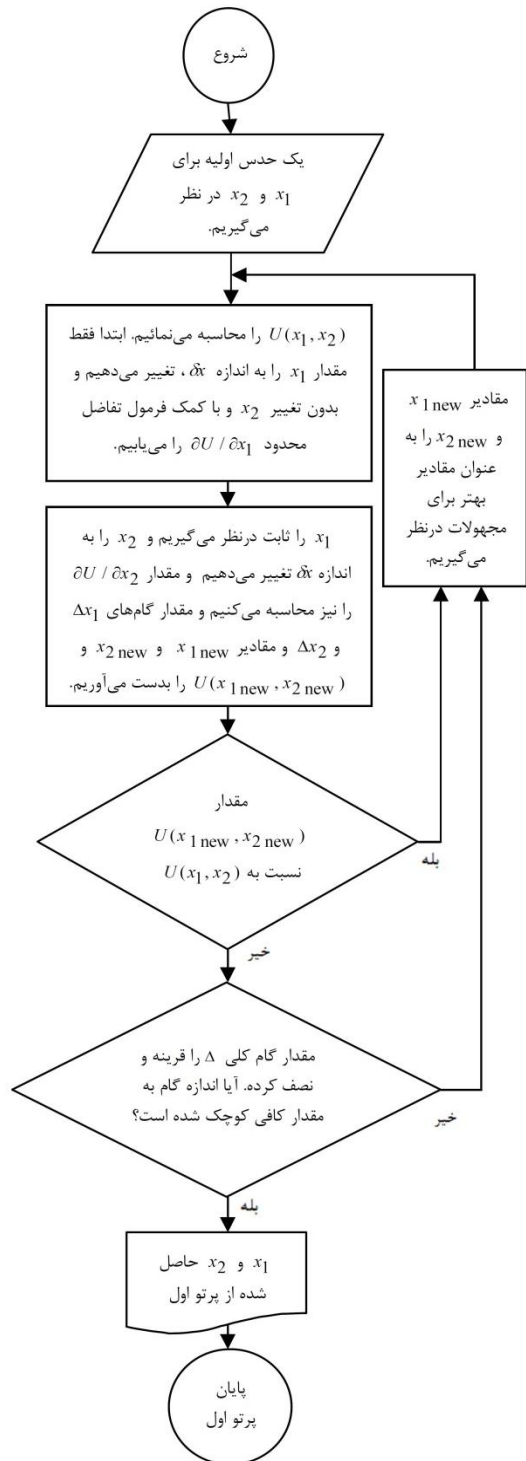
۳-۲- حل مسأله با استفاده از یک روش گرادیان محور (مرتب به یک)

در یک روش گرادیان محور همانطور که از نام آن مشخص است، از گرادیان و مشتق تابع هدف برای حل مسأله استفاده می‌گردد. روشی که در این بخش استفاده می‌گردد، روش تندترین کاهش^۲ است [۲۴]. در این روش، تابع هدف به صورت $U = U(x_1, x_2)$ در نظر گرفته می‌شود که x_1 و x_2 متغیرهای مسأله هستند و همچنین گام کلی مسأله به اندازه Δ در نظر گرفته می‌شود. در این روش با یک حدس اولیه برای x_1 و x_2 فرآیند آغاز می‌گردد و $U(x_1, x_2)$ محاسبه می‌گردد. سپس مشتقات تابع U را نسبت به x_1 و x_2 با استفاده از تقریب تفاضل محدود محاسبه می‌نماییم. برای این منظور، ابتدا فقط مقدار x_1 را به اندازه δx ، (عدد کوچکی که با کمک آن قصد داریم مقدار مشتق را بدست بیاوریم)، تغییر می‌دهیم و x_2 را بدون تغییر می‌گذاریم و در این مرحله $U(x_1 + \delta x, x_2)$ را

³ First ray

¹ Convergence criterion

² Steepest descent method



شکل ۴- فلوچارت محاسبات روش گرادیان محور برای یک برتو

شده از برتو اول را به عنوان مقادیر اولیه برای برتو دوم در نظر بگیریم و مجدداً از مقدار اولیه Δ استفاده نموده و روش فوق را مجدداً به کار ببندیم تا مقدار Δ در طی حل مسأله مجدداً به همان میزان مطلوب کوچک گردد (شکل ۴).

روند محاسبات مربوط به برتو جدید زمانی متوقف می‌شود که مقادیر $\partial U / \partial x_1$ و $\partial U / \partial x_2$ به مقدار کافی کوچک شوند. در این حالت مقادیر نهایی x_1 و x_2 در آخرین برتو، جواب مسأله می‌باشند. شکل ۴ فلوچارت محاسبات مربوط به یک برتو را نشان می‌دهد.

۴- مثال‌های عددی

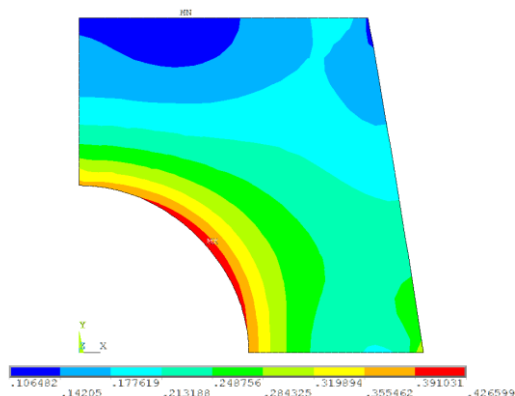
در این بخش یک مثال از ورق‌های پیرالاستیک تحت بارگذاری درون صفحه‌ای مطرح می‌شود و به صورت عددی آن را بررسی می‌نماییم. برای فراهم آوردن داده‌های ورودی مسأله معکوس و تعریف مسأله معکوس، ابتدا یک مسأله مستقیم را حل می‌کنیم.

۴-۱- حل یک مسأله مستقیم و تعریف مسأله معکوس

یک ورق‌های پیرالاستیک مطابق آنچه در شکل ۵ نشان داده شده است در نظر می‌گیریم. این ورق به شکل مربع است که از یکی از گوشه‌های آن یک ربع دایره جدا شده است. ابعاد این ورق و شعاع ربع دایره به صورت زیر است:

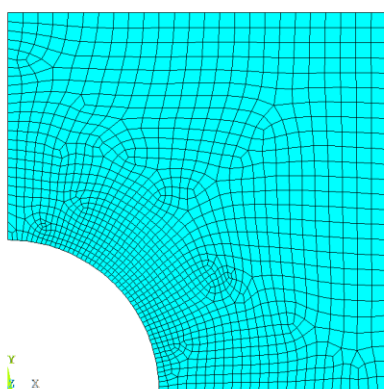
$$OD = OB = 0.5 \text{ m} \quad (41)$$

$$OF = 0.2 \text{ m} \quad (42)$$



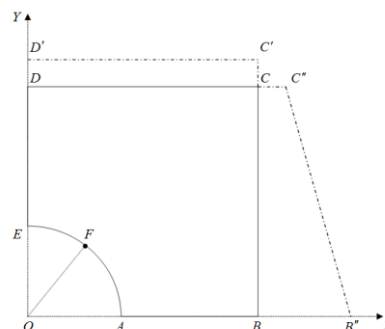
شکل ۶- کانتور کرنش اصلی اول در دامنه مسأله

برای شروع تحلیل، یک مرتبه مسأله با در نظر گرفتن ۴۱۳ المان و یک مرتبه دیگر با ۱۳۵۲ المان (شکل ۷) تحلیل گردید و ملاحظه شد که جوابها در این دو تحلیل تفاوت ناچیزی (کمتر از ۰/۱ درصد) با یکدیگر دارند، بنابراین در کلیه تحلیلها ۱۳۵۲ المان در نظر گرفته شد.



شکل ۷- مدل المان محدود مسأله با ۱۳۵۲ المان

پس از استخراج تغییر شکل از نرم افزار انسیس و انجام محاسبات لازم برای تعیین ε_{eq} در تمام گرهها توسط نرم افزار متلب ملاحظه می شود که در نقطه F با مختصات $(0,1275)$ ، $(0,11541)$ بیشترین مقدار ε_{eq} (با توجه به رابطه ۳۰) یعنی $0,5214$ به وجود می آید که این مقدار را به عنوان ε_f در نظر می گیریم. اکنون صورت مسأله معکوس را برای این ورق به



شکل ۵- یک ورق هایپر الاستیک مربع شکل با گوشه بریده شده

در این ورق هایپر الاستیک، یک جابجایی یکنواخت عمودی برای ضلع DC و یک جابجایی افقی با تغییرات خطی برای ضلع BC به صورت زیر در نظر می گیریم:

$$v_{DC} = 0.1 \text{ m} \quad (43)$$

$$q_1 = u_C = 0.02 \text{ m} \quad (44)$$

$$q_2 = u_B = 0.12 \text{ m} \quad (45)$$

لبه های AB و DE به صورت غلتکی در نظر گرفته می شوند. به عبارت دیگر در این دو لبه جابجایی عمود بر لبه و تنش برشی مماس بر لبه صفر در نظر گرفته می شود. لبه انحنادار بصورت آزاد و بدون تنش در نظر گرفته می شود و از مدل مادی متداول و پر کاربرد نئوهوکین استفاده می گردد. مشخصات مادی ورق بر اساس مدل نئوهوکین به صورت زیر در نظر گرفته می شود:

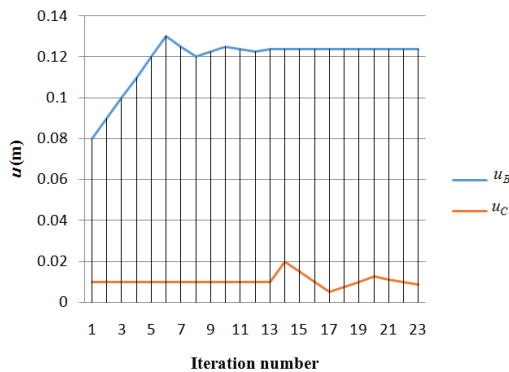
$$\mu = 200 \text{ Pa} \quad (46)$$

$$d = 5 \times 10^{-5} \quad (47)$$

که μ مدول برش اولیه ماده^۱ و d پارامتر تراکم ناپذیری ماده^۲ است. برای محاسبه کرنش معادل از تئوری PBP، مقادیر α و β را به ترتیب برابر ۱ و ۰/۰۳۲ در نظر می گیریم [۹]. در نرم افزار انسیس [۲۵] این مسأله، با ۱۳۵۲ المان تحلیل گردید. در شکل ۶ کانتور کرنش اصلی اول در دامنه مسأله دیده می شود.

² Material incompressibility parameter

¹ Initial shear modulus of the material

شکل ۸- تغییرات مقادیر u_B و u_C در مراحل مختلف

جدول ۲- نتایج روش مرتبه صفر بدون خطای اندازه‌گیری به

ازای مقادیر مختلف λ		مقدار نهایی	مقدار نهایی	حدس اولیه	حدس اولیه
$\sqrt{g_2}$	$\sqrt{g_1}$	u_C (m)	u_B (m)	λ	u_C (m)
\times $\frac{5}{10}$	$\frac{5}{10}$	\vdots	$\frac{1}{8}$	$\frac{1}{10}$	$\frac{7}{10}$
\times $\frac{5}{10}$	$\frac{5}{10}$	\vdots	$\frac{1}{8}$	$\frac{1}{10}$	$\frac{7}{10}$
\times $\frac{5}{10}$	$\frac{5}{10}$	\vdots	$\frac{1}{8}$	$\frac{5}{10}$	$\frac{7}{10}$
\times $\frac{5}{10}$	$\frac{5}{10}$	\vdots	$\frac{1}{8}$	$\frac{1}{10}$	$\frac{7}{10}$

همانطور که در جدول ۲ مشاهده می‌شود، نتایج محاسبه شده به ازای مقادیر مختلف λ به نتایج یکسان برای u_B و u_C ختم می‌گردد. این وضعیت به این علت به وجود آمده است که به ازای هر مقدار λ ، برای حل مسأله از مقادیر به دست آمده به ازای مقدار قبلی λ به عنوان حدس اولیه استفاده می‌شود و چون دو قسمت تابع هدف خیلی کوچک بوده است تغییر در آن حاصل نشده است.

مجدداً مسأله فوق را برای حدس اولیه جدید حل می‌نماییم و مقدار گام و الگوریتم توقف را هم مانند قسمت قبل

صورت زیر تعریف می‌کنیم:

در ورق نشان داده شده در شکل ۵، جنس ماده و شرایط مرزی در تمام لبه‌ها به جز لبه BC مانند قبل در نظر گرفته می‌شود. جابجایی لبه BC به صورت افقی با تغییرات خطی و نامعلوم در نظر گرفته می‌شود و کرنش معادل زوال و نقطه‌ای که در آن زوال اتفاق افتاده است معلوم هستند. مجهولات مسأله u_B و u_C هستند که در ادامه، به ترتیب با پارامترهای q_1 و q_2 معرفی می‌شوند. بردار مجهولات به صورت $\mathbf{q} = [q_1 \ q_2]^T$ در نظر گرفته می‌شود. در قسمت بعد، برای حل مسأله معکوس یک مرتبه داده‌های اندازه‌گیری بدون خطا و در مرتبه‌های بعد داده‌های اندازه‌گیری دارای خطا مورد استفاده قرار می‌گیرد. در شروع روش جست‌وجو با فواصل مساوی، اندازه گام برابر با 0.1 در نظر گرفته می‌شود. شرط توقف را وقتی در نظر می‌گیریم که اندازه گام به مقدار 0.0125 برسد. جدول ۱ حاصل محاسبات با روش فوق برای مثال ذکر شده است.

جدول ۱- نتایج روش مرتبه صفر بدون خطای اندازه‌گیری

برای 1352 گره		مقدار نهایی	مقدار نهایی	تعداد مراحل تا توقف الگوریتم	حدس اولیه	حدس اولیه
$\sqrt{g_2}$	$\sqrt{g_1}$	u_C (m)	u_B (m)	λ	u_C (m)	u_B (m)
\times $\frac{5}{10}$	$\frac{5}{10}$	\vdots	$\frac{1}{8}$	$\frac{1}{10}$	$\frac{7}{10}$	$\frac{7}{10}$

در این حالت تعداد مراحل تا دستیابی به جواب 23 بوده است. در شکل ۸ تغییرات مقادیر u_B و u_C در مرحله مشاهده می‌شود.

حال برای مقادیر مختلف λ ، مسأله فوق را حل می‌نماییم که نتایج به دست آمده در جدول ۲ گزارش شده است.

در نظر می‌گیریم. نتایج به‌دست آمده با حدس اولیه جدید در جدول ۳ گزارش شده است.

جدول ۳- نتایج روش مرتبه صفر بدون خطای اندازه‌گیری برای حدس اولیه جدید

حدس اولیه	حدس اولیه	تعداد مراحل تا توقف الگوریتم	مقدار نهایی	مقدار نهایی	$\sqrt{g_1}$	$\sqrt{g_2}$
u_B (m)	u_C (m)	λ	u_B (m)	u_C (m)		
$\frac{1}{4}$	$\frac{1}{4}$	۱	$\frac{1}{4}$	$\frac{1}{4}$	$\frac{1}{4}$	$\frac{1}{4}$
$\frac{1}{4}$	$\frac{1}{4}$	۱	$\frac{1}{4}$	$\frac{1}{4}$	$\frac{1}{4}$	$\frac{1}{4}$

نمی‌آیند باید گفت که برای پاسخ مسأله فعلی، با دقت در نظر گرفته شده برای معیار توقف، یک جواب خاص وجود ندارد، بلکه ما محدوده‌ای از جواب‌ها را بدست خواهیم آورد. این به این علت است که ما شکل صورت مسأله را به ۱۳۵۲ قسمت تقسیم کرده‌ایم و گره‌های در نظر گرفته شده در عمل مقداری با یکدیگر فاصله دارند و به همین علت است که هر بار با تغییر حدس اولیه، مقادیر نهایی u_B و u_C هم مقدار بسیار اندکی با هم متفاوت به‌دست می‌آیند. به عنوان یک رویکرد می‌توان پیشنهاد نمود که مسأله را با چند حدس اولیه حل کرده و مقدار میانگین جواب را از تحلیل‌های مختلف به عنوان جواب در نظر گرفت. برای مثال جواب میانگین گزارش شده در جداول ۱ و ۳ برای u_B و u_C به ترتیب ۰/۱۱۹۴ و ۰/۰۲۱۹ می‌باشد که با مقدار دقیق آن‌ها یعنی ۰/۱۲ و ۰/۰۲ اختلاف بسیار کمی دارد.

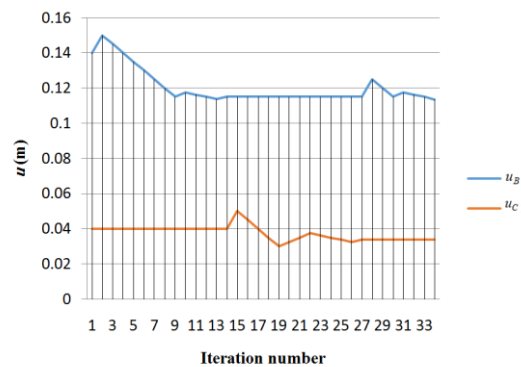
برای حل این مسأله تاکنون فرض بر این بوده است که داده‌های اولیه و معلوم مسأله، کاملاً صحیح و بدون خطا اندازه‌گیری شده‌اند و برای محاسبات بعدی در اختیار ما قرار داده شده‌اند، اما در این قسمت در یک رویکرد نزدیک‌تر به واقعیت فرض می‌کنیم که مختصات نقطه زوال با مقداری خطا در اختیار ما قرار داده شده باشد، ولی ϵ_f به‌صورت بدون خطا در دسترس باشد. برای این منظور مقدار ϵ_f را مانند قبل برابر با ۰/۵۲۱۴ ولی مختصات نقطه زوال را در گره‌ای دیگر یعنی (۰/۱۲۲۵۸، ۰/۱۵۸۰۳) در نظر می‌گیریم که نسبت به مختصات گره درست زوال حدود ۳/۵ درصد خطا دارد. نتایج حل مسأله برای این حالت در جدول ۴ گزارش شده است.

جدول ۴- نتایج روش مرتبه صفر با خطای اندازه‌گیری فقط

در مختصات محل زوال

حدس اولیه	حدس اولیه	تعداد مراحل تا توقف الگوریتم	مقدار نهایی	مقدار نهایی	$\sqrt{g_1}$	$\sqrt{g_2}$
u_B (m)	u_C (m)	λ	u_B (m)	u_C (m)		
$\frac{1}{4}$	$\frac{1}{4}$	۱	$\frac{1}{4}$	$\frac{1}{4}$	$\frac{1}{4}$	$\frac{1}{4}$
$\frac{1}{4}$	$\frac{1}{4}$	۱	$\frac{1}{4}$	$\frac{1}{4}$	$\frac{1}{4}$	$\frac{1}{4}$

مقدار $\sqrt{g_2}$ نسبت به قسمت قبل کاهش یافته و این نشان می‌دهد که ϵ_{eq} در این حالت به ϵ_f نزدیکتر شده است؛ اما مقدار $\sqrt{g_1}$ در مقایسه با قسمت قبل افزایش یافته و این به این معنی است که موقعیت مکانی زوال بدست آمده نسبت به مسأله قبل که دقیقاً با مقدار ایده‌آل برابر بود، کمی دورتر شده است. در شکل ۹ تغییرات مقادیر u_B و u_C در ۳۴ مرحله روش بهینه‌سازی نشان داده شده است.



شکل ۹- تغییرات مقادیر u_B و u_C در مراحل مختلف برای حدس اولیه جدید

مجدداً این مسأله را نیز با مقادیر مختلف λ حل می‌نماییم و مجدداً مشاهده می‌گردد که به ازای مقادیر مختلف λ با حدس اولیه جدید نیز نتایج مشابهی حاصل می‌شود. در توضیح اینکه چرا با تغییر حدس اولیه، مقدار نهایی u_B و u_C هربار کمی تغییر می‌کنند و مانند جواب دقیق مسأله به‌دست

حال اگر علاوه بر مختصات محل زوال، مقدار ε_f را نیز با دو درصد خطا برابر با 0.5110 در نظر بگیریم، نتایج حل مسأله معکوس به صورت نشان داده شده در جدول ۵ خواهد بود.

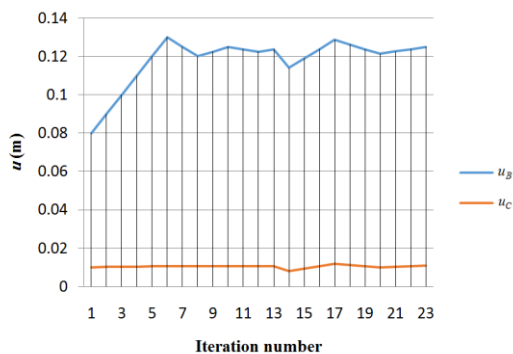
جدول ۵- نتایج روش مرتبه صفر با خطای اندازه‌گیری در مختصات محل زوال و مقدار ε_f

حس اولیه		حس اولیه		مراحل تا توقف الگوریتم		مقدار نهایی	مقدار نهایی
u_B	u_C	u_B	u_C	λ	λ	u_C	u_B
(m)	(m)	(m)	(m)	(m)	(m)	(m)	(m)
$\frac{1}{4}$	$\frac{1}{4}$	$\frac{1}{4}$	$\frac{1}{4}$	$\frac{1}{4}$	$\frac{1}{4}$	$\frac{1}{4}$	$\frac{1}{4}$
$\frac{1}{4}$	$\frac{1}{4}$	$\frac{1}{4}$	$\frac{1}{4}$	$\frac{1}{4}$	$\frac{1}{4}$	$\frac{1}{4}$	$\frac{1}{4}$

جدول ۶- نتایج روش گرادیان محور بدون خطای اندازه‌گیری با در نظر گرفتن ۱۳۵۲ گره

حس اولیه		حس اولیه		مراحل تا توقف الگوریتم		مقدار نهایی	مقدار نهایی
u_B	u_C	u_B	u_C	λ	λ	u_C	u_B
(m)	(m)	(m)	(m)	(m)	(m)	(m)	(m)
$\frac{1}{4}$	$\frac{1}{4}$	$\frac{1}{4}$	$\frac{1}{4}$	$\frac{1}{4}$	$\frac{1}{4}$	$\frac{1}{4}$	$\frac{1}{4}$
$\frac{1}{4}$	$\frac{1}{4}$	$\frac{1}{4}$	$\frac{1}{4}$	$\frac{1}{4}$	$\frac{1}{4}$	$\frac{1}{4}$	$\frac{1}{4}$

با توجه به جدول ۶ ملاحظه می‌شود که به رغم این که مقادیر دو قسمت تابع هدف یعنی $\sqrt{g_1}$ و $\sqrt{g_2}$ خیلی کوچک می‌باشد ولی جواب‌های حاصل شده با مقدار حقیقی مسأله کمی فاصله دارند و علت این اتفاق را همانطور که قبلاً ذکر شد، می‌توان گسسته بودن مدل المان محدود و پیوسته نبودن محل زوال محاسبه شده، بیان نمود. در شکل ۱۰ تغییرات مقادیر u_B و u_C در ۲۳ مرحله روش بهینه‌سازی نشان داده شده است.



شکل ۱۰- تغییرات مقادیر u_B و u_C در روش گرادیان محور برای مراحل مختلف

مجدداً اگر برای مقادیر مختلف λ ، مسأله فوق را حل نماییم ملاحظه می‌شود که مانند روش مرتبه صفر، نتایج به

مجدداً مسأله فوق که هم در مختصات محل زوال و هم در مقدار ε_f دارای خطای اندازه‌گیری است را به ازای مقادیر مختلف λ حل می‌نماییم و ملاحظه می‌شود، کاهش یا افزایش ۱۰ برابری مقدار λ تأثیری در جواب نهایی ندارد. روش بهینه‌سازی موفق شده است شرایط مرزی مجهول را به گونه‌ای محاسبه کند که زوال دقیقاً در نقطه خواسته شده اتفاق بیفتد و مقدار کرنش معادل در آن نقطه بسیار به مقدار ε_f نزدیک باشد. با توجه به جدول ۵ ملاحظه می‌شود که در این وضعیت که داده‌های اندازه‌گیری دارای خطا هستند جواب به دست آمده در مقایسه با جواب ایده‌آل نیز دارای خطایی حتی به مراتب بیشتر است. بیشتر بودن خطای جواب مسأله معکوس را در مقایسه با خطای اندازه‌گیری می‌توان با توجه به بدشرط بودن مسأله معکوس و کم بودن تعداد معلومات (داده‌های اندازه‌گیری) توجیه نمود.

در روش گرادیان محور، با ثابت نگاه داشتن مقدار u_C ، مقدار u_B را به اندازه 0.001 ، تغییر می‌دهیم و مقدار $\frac{\partial g}{\partial u_B}$ را بدست می‌آوریم و در مرحله بعد مقدار u_B را برابر حس اولیه در نظر گرفته و مقدار u_C را به اندازه 0.001 تغییر می‌دهیم و $\frac{\partial g}{\partial u_C}$ را محاسبه می‌نماییم. گام کلی مسأله، یعنی Δ را برابر 0.01 در نظر گرفته و شرط توقف را وقتی در نظر می‌گیریم که اندازه گام به مقدار 0.00125 برسد. هنگامی که مقادیر

در گره‌ای دیگر یعنی (۰/۱۲۲۵۸، ۰/۱۵۸۰۳) در نظر می‌گیریم که نسبت به مختصات گره درست زوال حدود ۳/۵ درصد خطا دارد. نتایج حل مسأله برای این حالت در جدول ۸ گزارش شده است. حال اگر علاوه بر مختصات محل زوال، مقدار ε_f را نیز با دو درصد خطا برابر با ۰/۵۱۱۰ در نظر بگیریم، نتایج حل مسأله معکوس به صورت نشان داده شده در جدول ۹ خواهد بود.

جدول ۸- نتایج روش گرادیان محور با در نظر گرفتن ۳/۵ درصد خطا در مختصات محل زوال

حد س	حدس اولیه	تعداد مراحل تا توقف	مقدار نهایی	مقدار نهایی	مقدار نهایی	$\sqrt{g_2}$	$\sqrt{g_1}$
u_B (m)	u_C (m)	λ	u_C (m)	u_B (m)	ε_f	$\sqrt{g_2}$	$\sqrt{g_1}$
۰/۱۱	۰/۰۶	-	۰/۰۶	۰/۱۱	۰/۰۸	۰/۰۸	۰/۰۸

جدول ۹- نتایج روش گرادیان محور با در نظر گرفتن خطای اندازه‌گیری در مختصات محل زوال و مقدار ε_f

حدس اولیه	حدس اولیه	تعداد مراحل تا توقف	مقدار نهایی	مقدار نهایی	مقدار نهایی	$\sqrt{g_2}$	$\sqrt{g_1}$
u_B (m)	u_C (m)	λ	u_C (m)	u_B (m)	ε_f	$\sqrt{g_2}$	$\sqrt{g_1}$
۰/۰۶	۰/۰۶	-	۰/۰۶	۰/۰۶	۰/۰۸	۰/۰۸	۰/۰۸

مشاهده می‌گردد که با اضافه کردن خطا در مقدار ε_f ، نسبت به حالتی که خطا را فقط در مختصات محل زوال وارد کرده بودیم، مقادیر $\sqrt{g_2}$ و $\sqrt{g_1}$ افزایش پیدا کرده‌اند. مجدداً مسأله فوق که هم در مختصات محل زوال و هم در مقدار ε_f دارای خطای اندازه‌گیری است را به ازای مقادیر مختلف λ حل می‌نماییم و ملاحظه می‌شود که مانند روش مرتبه صفر، کاهش یا افزایش ۱۰ برابری مقدار λ تأثیری در جواب نهایی ندارد.

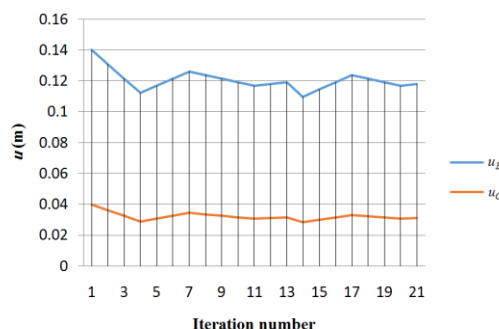
نتایج به دست آمده از روش مرتبه صفر و روش مرتبه یک نشان می‌دهد که هر دو روش توانایی شناسایی شرط مرزی

دست آمده به ازای مقادیر مختلف λ به نتایج یکسان برای u_C و u_B ختم می‌شود. بار دیگر مسأله فوق را برای حدس اولیه جدید حل می‌نماییم و مقدار گام و الگوریتم توقف را هم مانند قسمت قبل در نظر می‌گیریم. نتایج به دست آمده با حدس اولیه جدید در جدول ۷ گزارش شده است.

جدول ۷- نتایج روش گرادیان محور بدون خطای اندازه‌گیری برای حدس اولیه جدید

حدس اولیه	حدس اولیه	تعداد مراحل تا توقف	مقدار نهایی	مقدار نهایی	مقدار نهایی	$\sqrt{g_2}$	$\sqrt{g_1}$
u_B (m)	u_C (m)	λ	u_C (m)	u_B (m)	ε_f	$\sqrt{g_2}$	$\sqrt{g_1}$
۰/۰۶	۰/۰۶	-	۰/۰۶	۰/۰۶	۰/۰۸	۰/۰۸	۰/۰۸

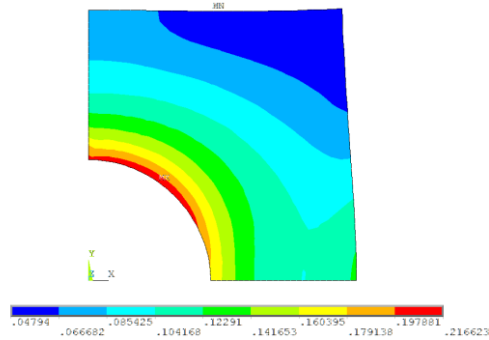
در شکل ۱۱ تغییرات مقادیر u_C و u_B در ۲۱ مرحله روش بهینه‌سازی نشان داده شده است.



شکل ۱۱- تغییرات مقادیر u_C و u_B در روش گرادیان محور برای مراحل مختلف برای حدس اولیه جدید

در اینجا نیز اگر به ازای مقادیر مختلف λ با حدس اولیه جدید مسأله را حل نماییم، نتایج مشابهی حاصل می‌گردد. مجدداً مانند روش مرتبه صفر، یک رویکرد نزدیک‌تر به واقعیت فرض می‌کنیم که مختصات نقطه زوال با مقداری خطا در اختیار ما قرار داده شده باشد، ولی ε_f به صورت بدون خطا در دسترس باشد. برای این منظور مقدار ε_f را مانند قبل برابر با ۰/۵۲۱۴ ولی مانند روش مرتبه صفر، مختصات نقطه زوال را

قبل ذکر شد، مورد استفاده قرار می‌گیرد. برای محاسبه کرنش معادل از تئوری PBP، مقادیر α و β و نوع المان و مش‌بندی ورق در نرم افزار انسیس را همانند قبل در نظر می‌گیریم. در شکل ۱۳، کانتور کرنش اصلی اول، نمایش داده شده است.



شکل ۱۳- کانتور کرنش اصلی اول در دامنه مسأله با شرایط مرزی نیرویی

پس از استخراج تغییر شکل از نرم‌افزار انسیس و انجام محاسبات لازم برای تعیین ϵ_{eq} در تمام گره‌ها توسط نرم‌افزار متلب ملاحظه می‌شود که در نقطه F با مختصات $(0.1618, 0.1175)$ بیشترین مقدار ϵ_{eq} (با توجه به رابطه 30°) یعنی 0.2648 به وجود می‌آید که این مقدار را به عنوان ϵ_f در نظر می‌گیریم. اکنون صورت مسأله معکوس را مانند قبل برای این ورق به صورت زیر تعریف می‌کنیم:

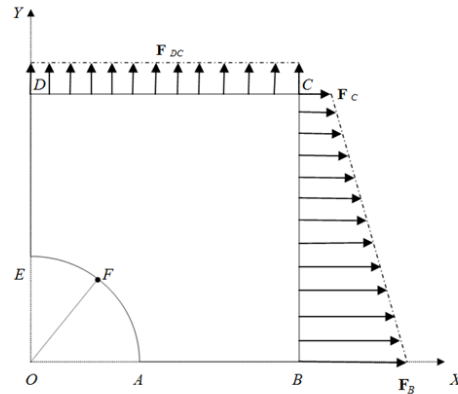
در ورق نشان داده شده در شکل ۱۲، جنس ماده و شرایط مرزی در تمام لبه‌ها به جز لبه BC مانند قبل در نظر گرفته می‌شود. نیروی وارد بر لبه BC به صورت افقی با تغییرات خطی و نامعلوم در نظر گرفته می‌شود و کرنش معادل زوال و نقطه‌ای که در آن زوال اتفاق افتاده است معلوم هستند. مجهولات مسأله F_C و F_B هستند که در ادامه، به ترتیب با پارامترهای q_1 و q_2 معرفی می‌شوند. بردار مجهولات به صورت $\mathbf{q} = [q_1 \quad q_2]^T$ در نظر گرفته می‌شود. در قسمت بعد، برای حل مسأله معکوس، داده‌های اندازه‌گیری دارای خطا، با سه حدس اولیه مختلف مورد استفاده قرار می‌گیرند. در این قسمت فقط از روش گرادینان محور استفاده می‌گردد.

مجدداً مانند قبل، با یک رویکرد نزدیک‌تر به واقعیت فرض می‌کنیم که مختصات نقطه زوال با مقداری خطا در اختیار ما

مجهول را دارند و در شرایط مختلف دقت هر دو روش از یک مرتبه است، اما تعداد مراحل لازم برای حل مسأله توسط روش مرتبه یک به مراتب کمتر از آن توسط روش مرتبه صفر است.

۴-۲- یک مسأله معکوس دیگر با شرایط مرزی متفاوت

در این قسمت، همانند حالت قبل یک ورق مربع شکل هایپروالاستیک که گوشه آن بصورت دایره‌ای بریده شده است در نظر می‌گیریم، اما شرایط مرزی در لبه‌های سمت راست و بالای ورق به جای آنکه به صورت جابجائی در نظر گرفته شود به صورت بار گسترده با تغییرات خطی در نظر گرفته می‌شود. صورت مسأله مستقیم در شکل ۱۲ نشان داده شده است.



شکل ۱۲- یک ورق هایپروالاستیک مربع شکل با گوشه بریده شده با شرایط مرزی به صورت نیروی گسترده

در این ورق هایپروالاستیک، یک نیروی یکنواخت عمود برای ضلع DC و یک نیروی گسترده در جهت افقی با تغییرات خطی برای ضلع BC به صورت زیر در نظر می‌گیریم:

$$\mathbf{F}_{DC} = 52 \text{ N/m} \quad (48)$$

$$q_1 = \mathbf{F}_C = 32 \text{ N/m} \quad (49)$$

$$q_2 = \mathbf{F}_B = 67 \text{ N/m} \quad (50)$$

همانند حالت قبل، لبه‌های AB و DE به صورت غلتکی در نظر گرفته می‌شوند. به عبارت دیگر در این دو لبه جابجایی عمود بر لبه و تنش برشی مماس بر لبه صفر در نظر گرفته می‌شود. لبه انحنا دار بصورت آزاد و بدون تنش در نظر گرفته می‌شود و مدل مادی نئوهوکین با مشخصات مادی که در قسمت

ایده آل آن‌ها نسبتاً نزدیک هستند. در نهایت با حل مسأله فوق مشاهده می‌گردد که با شرایط مرزی از جنس نیرو نیز می‌توان با وجود خطاهای اندازه‌گیری به جواب‌های قابل قبولی رسید و روش‌های ذکر شده در این پژوهش از کارایی خوبی در حل مسائل مختلف برخوردار می‌باشند.

جدول ۱۱- نتایج روش گرادیان محور با در نظر گرفتن خطای اندازه‌گیری در مختصات محل زوال و مقدار ε_f

حده اولیه	حده اولیه	تعداد مراحل تا توقف الگوریتم	مقدار نهایی F_B (N/m)	مقدار نهایی F_C (N/m)	$\sqrt{g_1}$	$\sqrt{g_2}$
۵	۲	۲	۷۴۱۸	۲۰۷۵	7.1914×10^{-4}	7.1914×10^{-4}
۵	۲	۱	۶۳۷۵	۳۵۰۲	1.485×10^{-5}	1.485×10^{-5}
۵	۲	۱	۶۹۵۶	۲۹۴۳	5.1549×10^{-4}	5.1549×10^{-4}

۵- نتیجه‌گیری

در این پژوهش، مسأله معکوس جدیدی در خصوص شناسایی توزیع بار ایجاد کننده زوال در حالت دو بعدی تعریف و راه حل آن با استفاده از روش‌های مرتبه صفر و مرتبه یک بیان گردید. با توجه به محاسبات انجام شده در قسمت‌های مختلف این پایان نامه، می‌توان نتیجه گرفت که با استفاده از روش گرادیان-محور تعداد مراحل تا توقف الگوریتم نسبت به روش مرتبه صفر کمتر است و این نکته برای هر دو حالت دارای خطای اندازه‌گیری و بدون خطای اندازه‌گیری صادق است.

با توجه به گسسته بودن مدل المان محدود، در روند بهینه‌سازی، محل زوال به صورت پیوسته تغییر نمی‌کند و به همین دلیل با در نظر گرفتن حدس‌های اولیه مختلف، برای هریک از مجهولات مسأله یک بازه جواب به دست می‌آید که با میانگین گرفتن از جواب‌ها می‌توان به جواب مناسب دست پیدا کرد. در حالت کلی مشاهده می‌گردد که روش گرادیان-محور با وجود پیچیده‌تر بودن معادلات مورد استفاده آن نسبت به روش مرتبه صفر، در زمانی کوتاه‌تر به نتایج نسبتاً بهتری می‌رسد و این به این معنی است که در حل مسأله معکوس این

قرار داده شده باشد، ولی ε_f به صورت بدون خطا در دسترس باشد. برای این منظور مقدار ε_f را مانند قبل برابر با ۰/۲۶۴۸، ولی مختصات نقطه زوال را در گره‌ای دیگر یعنی (۰/۱۶۵۴۲، ۰/۱۱۲۴۲) در نظر می‌گیریم. نتایج حل مسأله برای این حالت با سه حدس اولیه متفاوت در جدول ۱۰ گزارش شده است. حال اگر علاوه بر مختصات محل زوال، مقدار ε_f را نیز با دو درصد خطا و برابر با ۰/۲۵۹۵ در نظر بگیریم، نتایج حل مسأله معکوس برای همان سه حدس اولیه متفاوت به صورت نشان داده شده در جدول ۱۱ خواهد بود.

جدول ۱۰- نتایج روش گرادیان محور با در نظر گرفتن خطا در مختصات محل زوال

حده اولیه	حده اولیه	تعداد مراحل تا توقف الگوریتم	مقدار نهایی F_B (N/m)	مقدار نهایی F_C (N/m)	$\sqrt{g_1}$	$\sqrt{g_2}$
۵	۲	۲	۷۹۲۵	۱۹۴۴	1.575×10^{-3}	1.575×10^{-3}
۵	۲	۱	۶۳۷۵	۳۵۰۲	1.485×10^{-5}	1.485×10^{-5}
۵	۲	۱	۷۰۰۰	۲۰۰۷	8.353×10^{-4}	8.353×10^{-4}

با توجه به جدول ۱۰، با میانگین گرفتن از پاسخ‌های حاصل شده با سه حدس اولیه مختلف، به اعداد ۲۸/۱۸ و ۷۰ برای F_C و F_B خواهیم رسید که به مقادیر ایده‌آل آن‌ها یعنی ۶۷ و ۳۲ نسبتاً نزدیک هستند. جواب‌های نهایی با حدس‌های اولیه مختلف مقداری تفاوت دارند و این به علت وضعیت بدشرط (بدوضع) بودن مسائل معکوس می‌باشد. لازم به ذکر است که برای مقادیر حدس اولیه هر میزان نیرویی دلخواهی را نمی‌توانیم در نظر بگیریم، چون در نرم افزار انسیس به علت عدم وجود همگرایی پاسخی نخواهیم یافت. همچنین، از میانگین گرفتن اعداد مندرج در جدول ۱۱، به مقادیر ۶۹/۱۶ و ۲۸/۵ برای F_C و F_B خواهیم رسید که مانند قبل به مقادیر

- composites: Experiments and phase field fracture modeling. *J. Mech. Phys. Solid.*, 140, 103941.
- [11] Rosendahl, P. L. (2021). From bulk to structural failure: fracture of hyperelastic materials. Springer Vieweg.
- [12] Rosendahl, P. L., Rheinschmidt, F., & Schneider, J. (2022). Structural bonding with hyperelastic adhesives: Material characterization, structural analysis and failure prediction. In *Current Perspectives and New Directions in Mechanics, Modelling and Design of Structural Systems* (pp. 281-282). CRC Press.
- [13] Zochowski, P., Cegła, M., Szczeniowski, K., Mączak, J., Bajkowski, M., Bednarczyk, E., ... & Prasła, P. (2023). Experimental and numerical study on failure mechanisms of the 7.62× 25 mm FMJ projectile and hyperelastic target material during ballistic impact. *Continuum Mechanics and Thermodynamics*, 35(4), 1745-1767.
- [۱۴] مائده حاج هاشم خانی، محمدرحیم همتیان (۱۳۹۶) شناسایی شرایط مرزی در مسائل تغییر فرم مواد هایپرالاستیک، مجله مهندسی مکانیک امیرکبیر، ۲(۴۹)، ۲۶۱.
- [15] Hajhashemkhani, M., Hematiyan, M. R., Khosrowpour, E., & Goenezen, S. (2020). A novel method for the identification of the unloaded configuration of a deformed hyperelastic body. *Inverse Problems in Science and Engineering*, 28(10), 1493-1512.
- [16] Xu, T., Li, M., Wang, Z., Hu, Y., Du, S., & Lei, Y. (2022). A method for determining elastic constants and boundary conditions of three-dimensional hyperelastic materials. *Int. J. Mech. Sci.*, 225, 107329.
- [17] Bower, A. F. (2009). *Applied mechanics of solids*. CRC press.
- [18] Holzapfel, G.A. (2000) *Nonlinear Solid Mechanics: A Continuum Approach for Engineering*. 1st Edition, John Wiley & Sons Ltd., Chichester.
- [19] Neff, P., Eidel, B., & Martin, R. J. (2016). Geometry of logarithmic strain measures in solid mechanics. *Archive for Rational Mechanics and Analysis*, 222, 507-572.
- [20] Chen, W. F., & Zhang, H. (1991). *Structural plasticity: theory, problems, and CAE software* (Vol. 2). New York: Springer-Verlag.
- [21] Lode, W. (1926). Versuche über den Einfluß der mittleren Hauptspannung auf das Fließen der Metalle Eisen, Kupfer und Nickel. *Zeitschrift für Physik*, 36(11-12), 913-939.
- [22] Podgórski, J. (1985). General failure criterion for isotropic media. *J. eng. Mech.*, 111(2), 188-201.
- [23] Bigoni, D., & Piccolroaz, A. (2004). Yield criteria for quasibrittle and frictional materials. *Int. J. solid struct.*, 41(11-12), 2855-2878.
- پژوهش، روش گرادیان-محور توصیه می‌گردد. همچنین این نتیجه حاصل شد که با تغییر ضریب وزن موجود در تابع هدف، جواب نهایی تغییر محسوسی نمی‌کند و این به این معنی است که مختصات محل زوال و مقدار کرنش نهایی هر کدام به یک میزان در تابع هدف تاثیر دارند.
- در این پژوهش، داده‌های ورودی مسأله معکوس تعریف شده با حل مسأله مستقیم متناظر و اضافه کردن خطا به نتایج به دست آمده فراهم گردید. اگرچه این عملکرد در پژوهش‌های انجام شده قبلی به فراوانی دیده می‌شود و کاملاً متداول است، ولی انجام آزمایش‌های تجربی جهت جمع‌آوری داده‌های اندازه‌گیری برای مسأله معکوس نیز مفید خواهد بود.

مراجع

- [1] Olusanya, A. (1997). A criterion of tensile failure for Hyperelastic materials and its application to viscoelastic-viscoplastic materials. *NPL Report CMMT (B)*, 130.
- [2] Volokh, K. Y. (2007). Hyperelasticity with softening for modeling materials failure. *J. Mech. Phys. Sol.*, 55(10), 2237-2264.
- [3] Nair, A. U., Lobo, H., & Bestelmeyer, A. M. (2009). Characterization of damage in hyperelastic materials using standard test methods and abaqus. In *2009 simulia customer conference* (Vol. 15).
- [4] Volokh, K. Y. (2010). On modeling failure of rubber-like materials. *Mechanics Research Communications*, 37(8), 684-689.
- [5] Volokh, K. Y. (2011). Modeling failure of soft anisotropic materials with application to arteries. *J. mech. Behave. Biomed. materials*, 4(8), 1582-1594.
- [6] Cao, J., Ding, X. F., Yin, Z. N., & Xiao, H. (2017). Large elastic deformations of soft solids up to failure: new hyperelastic models with error estimation. *Acta Mechanica*, 228, 1165-1175.
- [7] Schmandt, C., & Marzi, S. (2018). Effect of crack opening velocity and adhesive layer thickness on the fracture behaviour of hyperelastic adhesive joints subjected to mode I loading. *Int. J. Adh. Adhesives*, 83, 9-14.
- [8] Rosendahl, P. L., Drass, M., Schneider, J., & Becker, W. (2018). Crack nucleation in hyperelastic adhesive bonds. *ce/papers*, 2(5-6), 409-425.
- [9] Rosendahl, P. L., Drass, M., Felger, J., Schneider, J., & Becker, W. (2019). Equivalent strain failure criterion for multiaxially loaded incompressible hyperelastic elastomers. *Int. J. Solid Struct.*, 166, 32-46.
- [10] Russ, J., Slesarenko, V., Rudykh, S., & Waisman, H. (2020). Rupture of 3D-printed hyperelastic

[25] ANSYS 18.0 Help Manual.2018

[24] Arora, J. S. (2004). Introduction to optimum design. Elsevier.